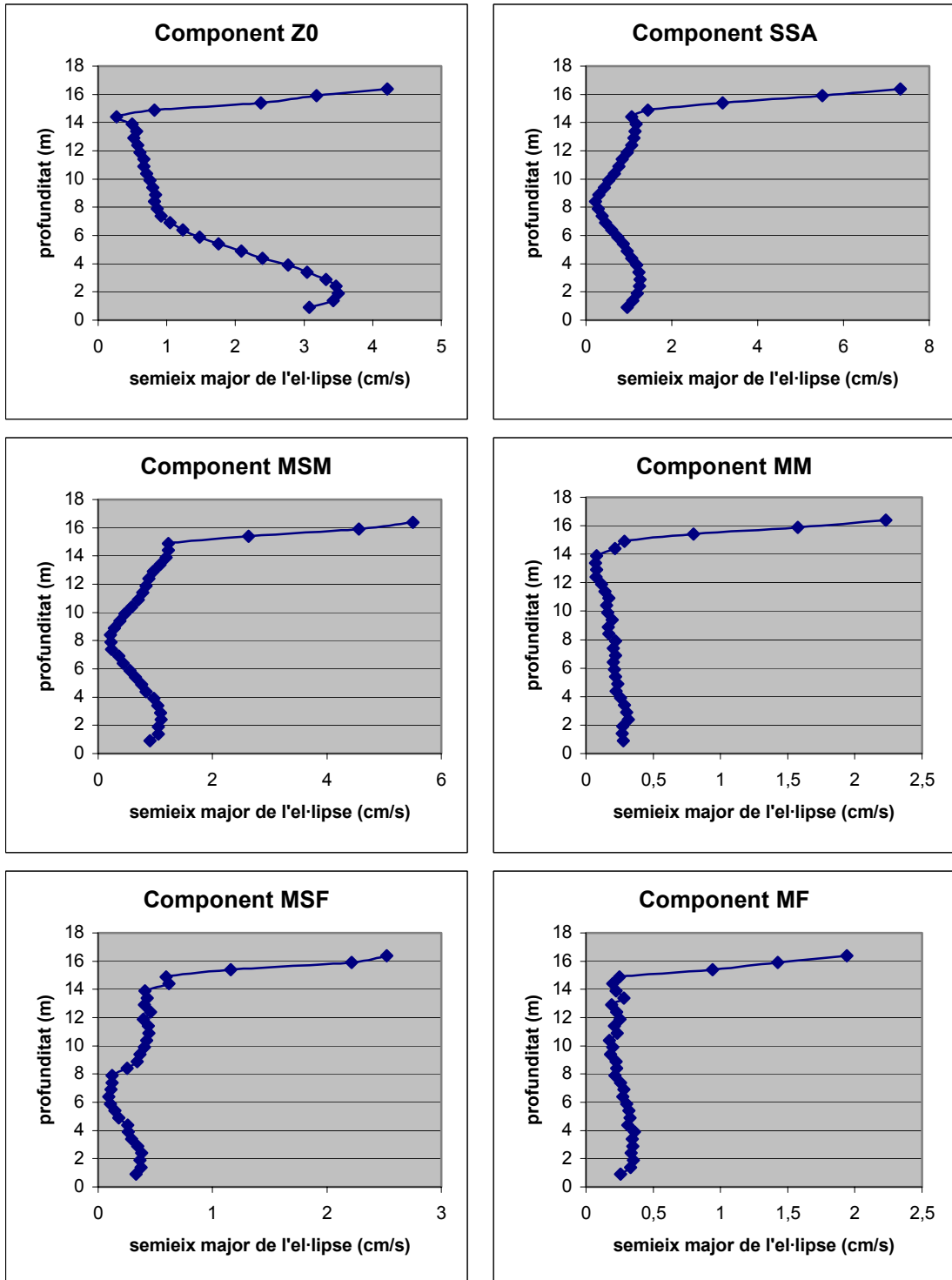
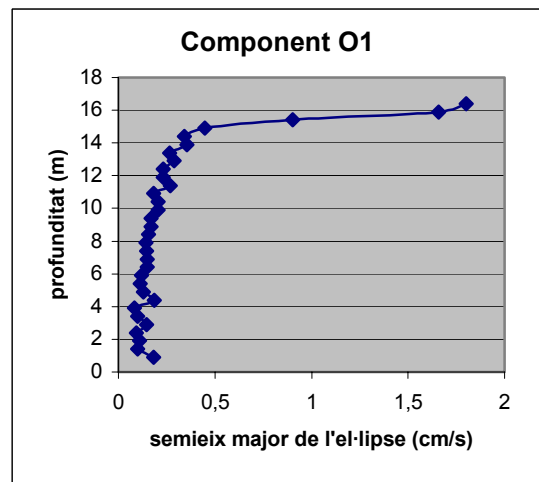
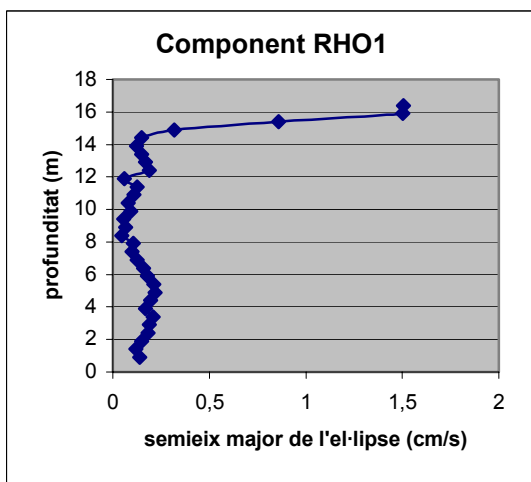
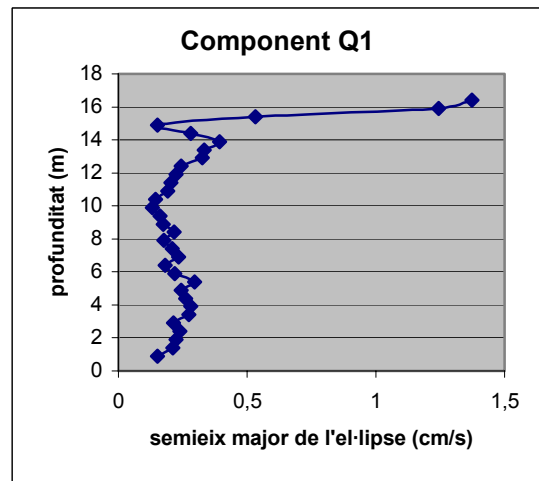
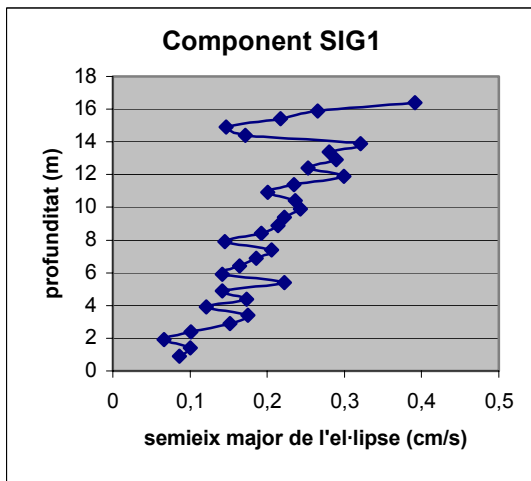
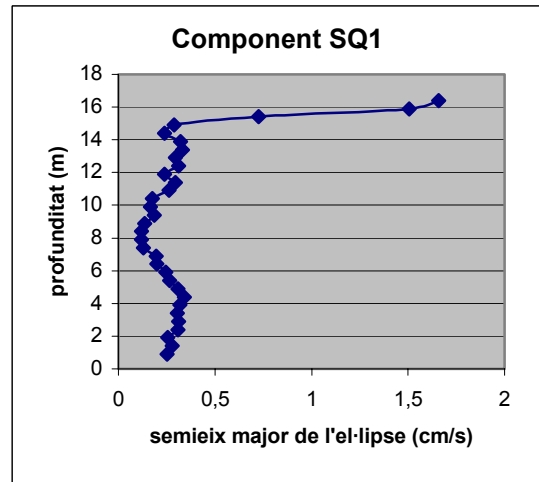
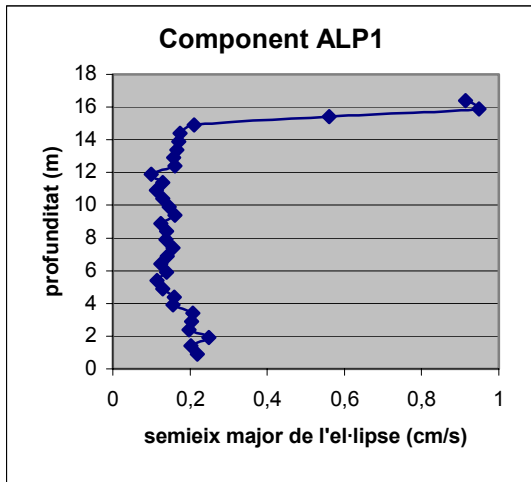
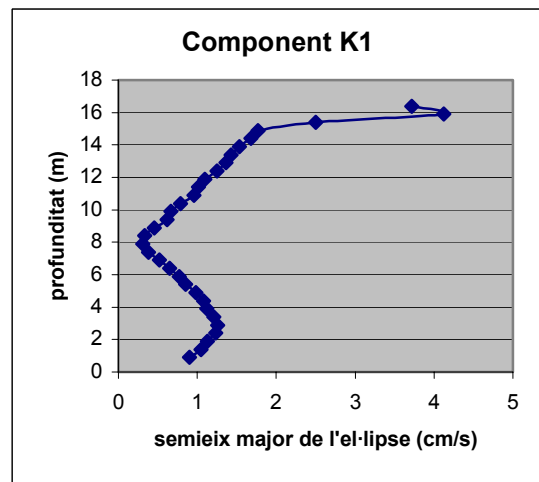
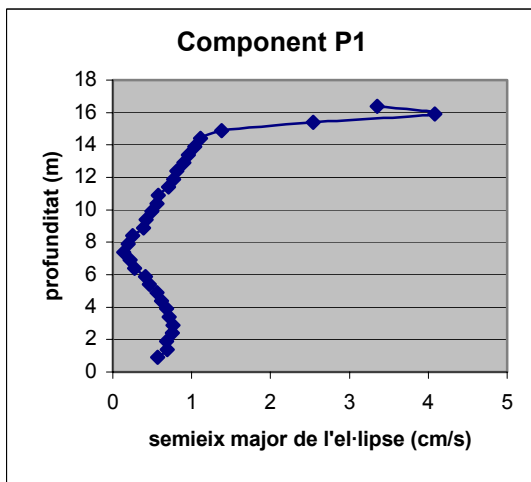
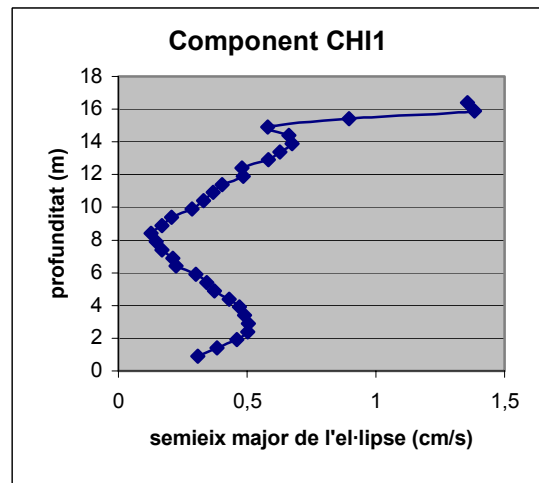
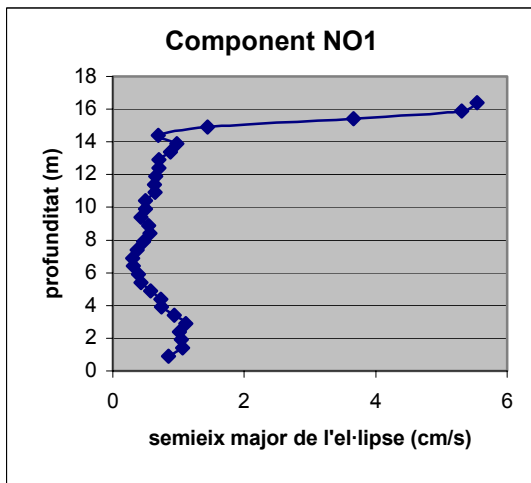
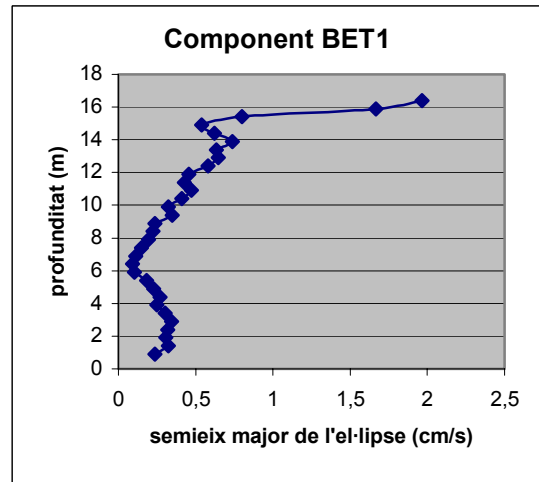
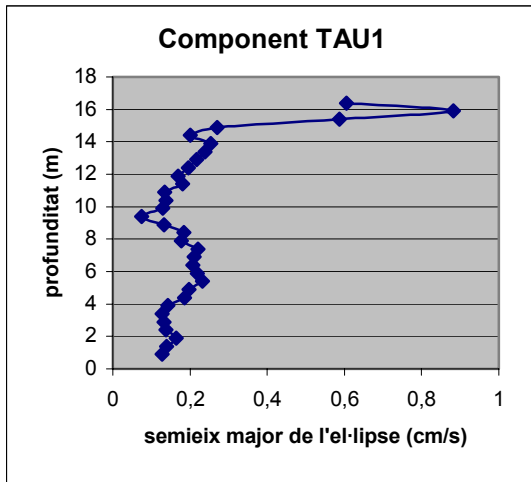


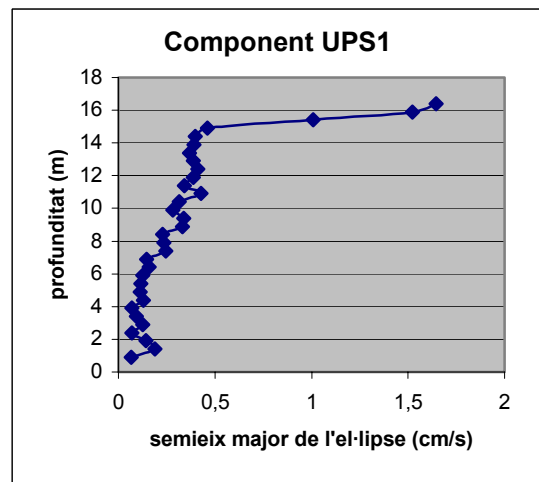
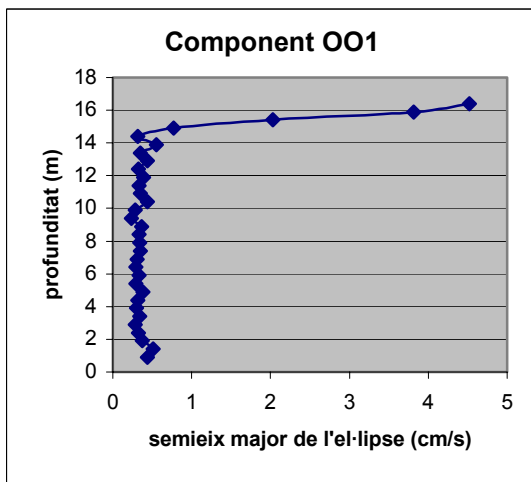
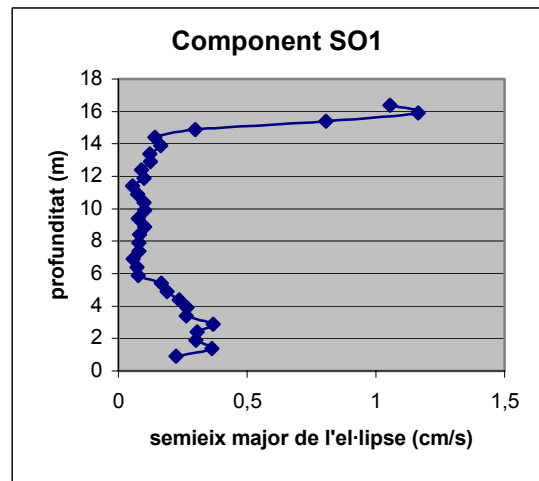
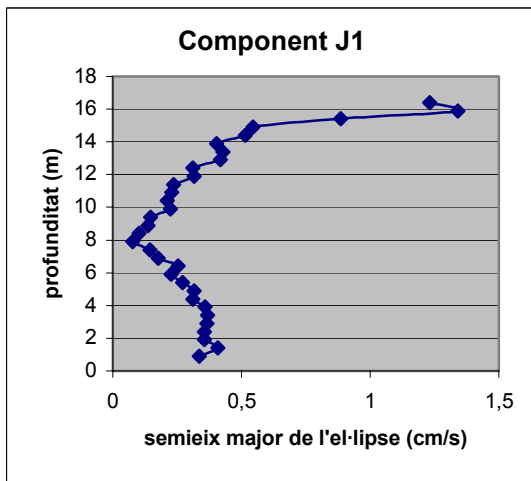
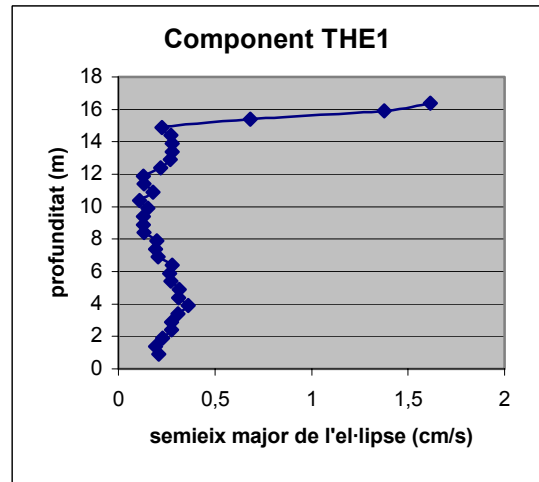
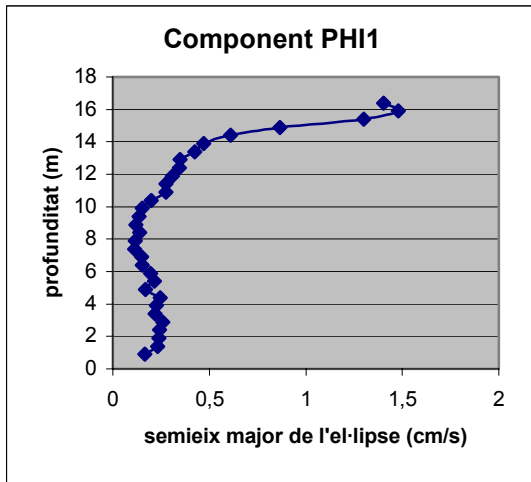
**ANNEX 5: REPRESENTACIONS GRÀFIQUES DELS RESULTATS  
OBTINGUTS AMB L'ANÀLISI HARMÒNICA**

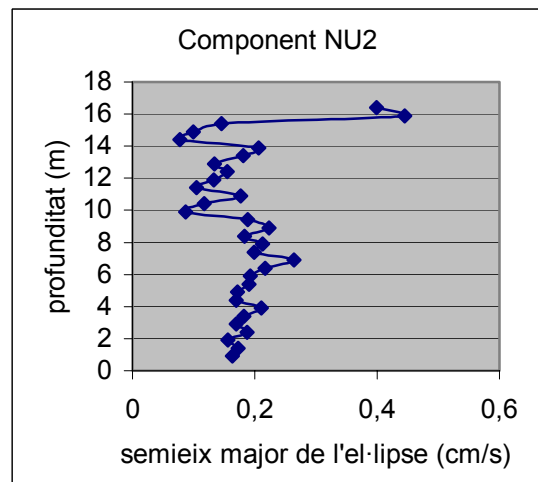
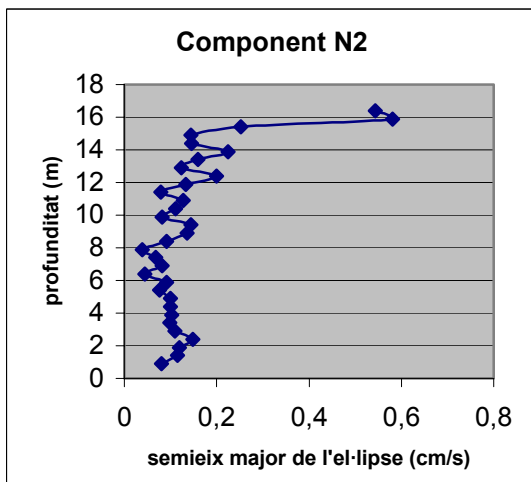
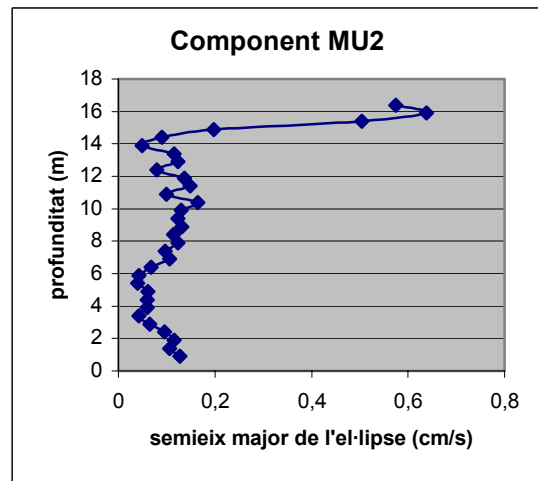
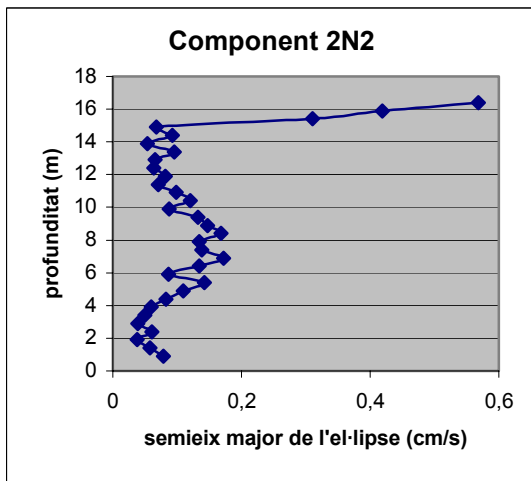
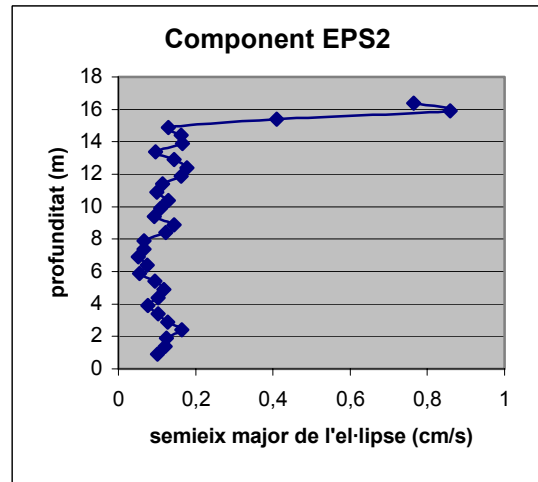
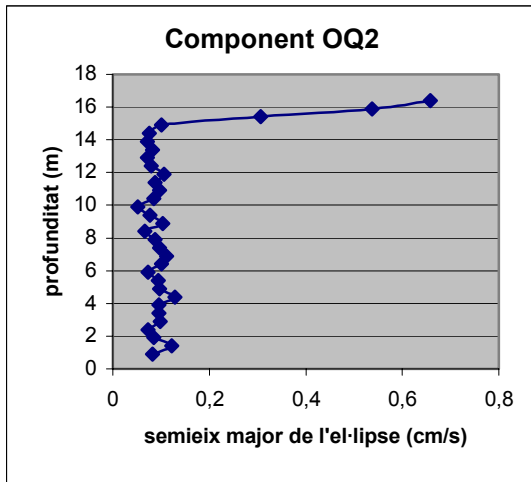
Gràfiques de la intensitat del corrent representada pel semieix major de cada component i al llarg de tota la profunditat

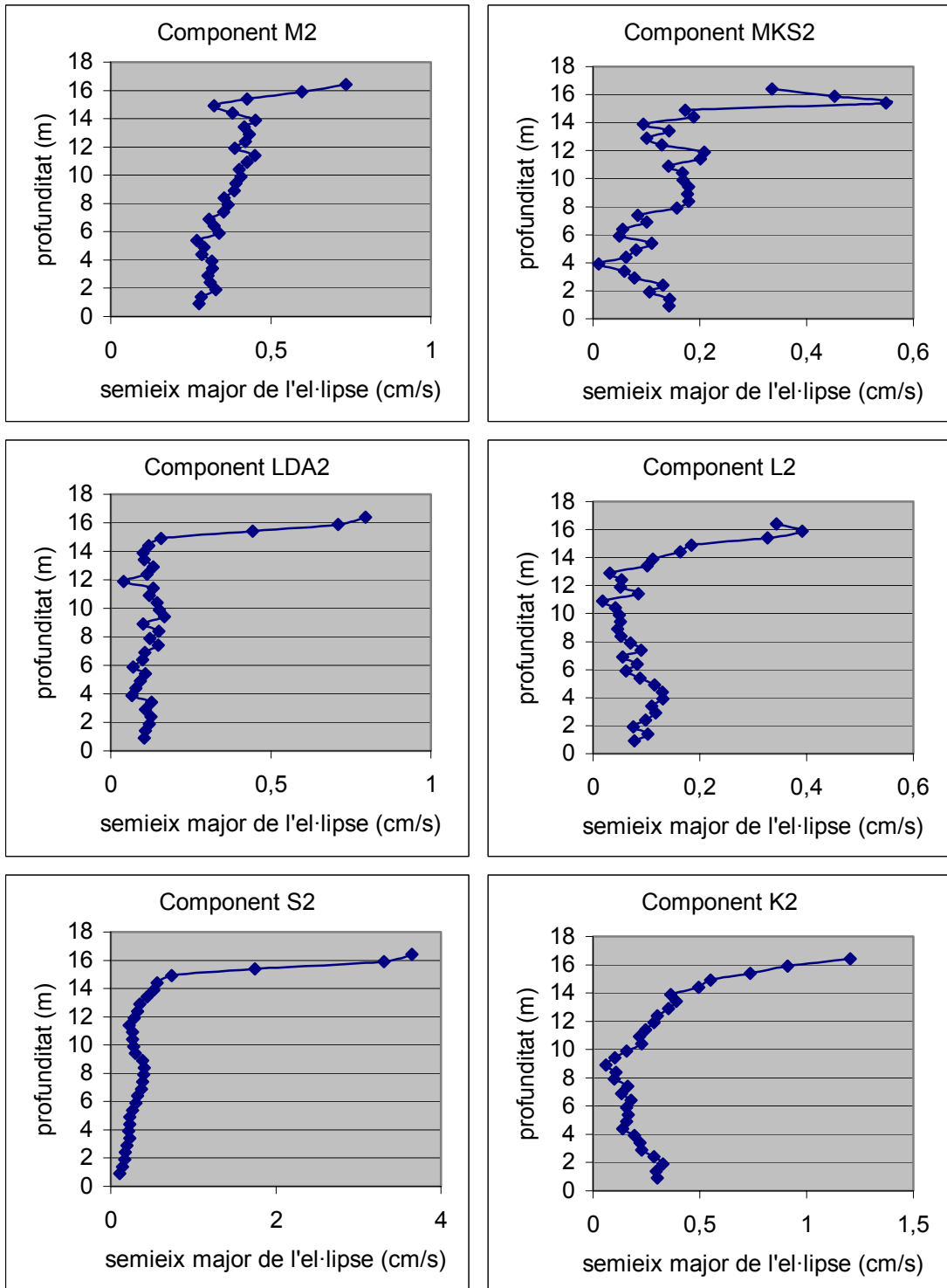


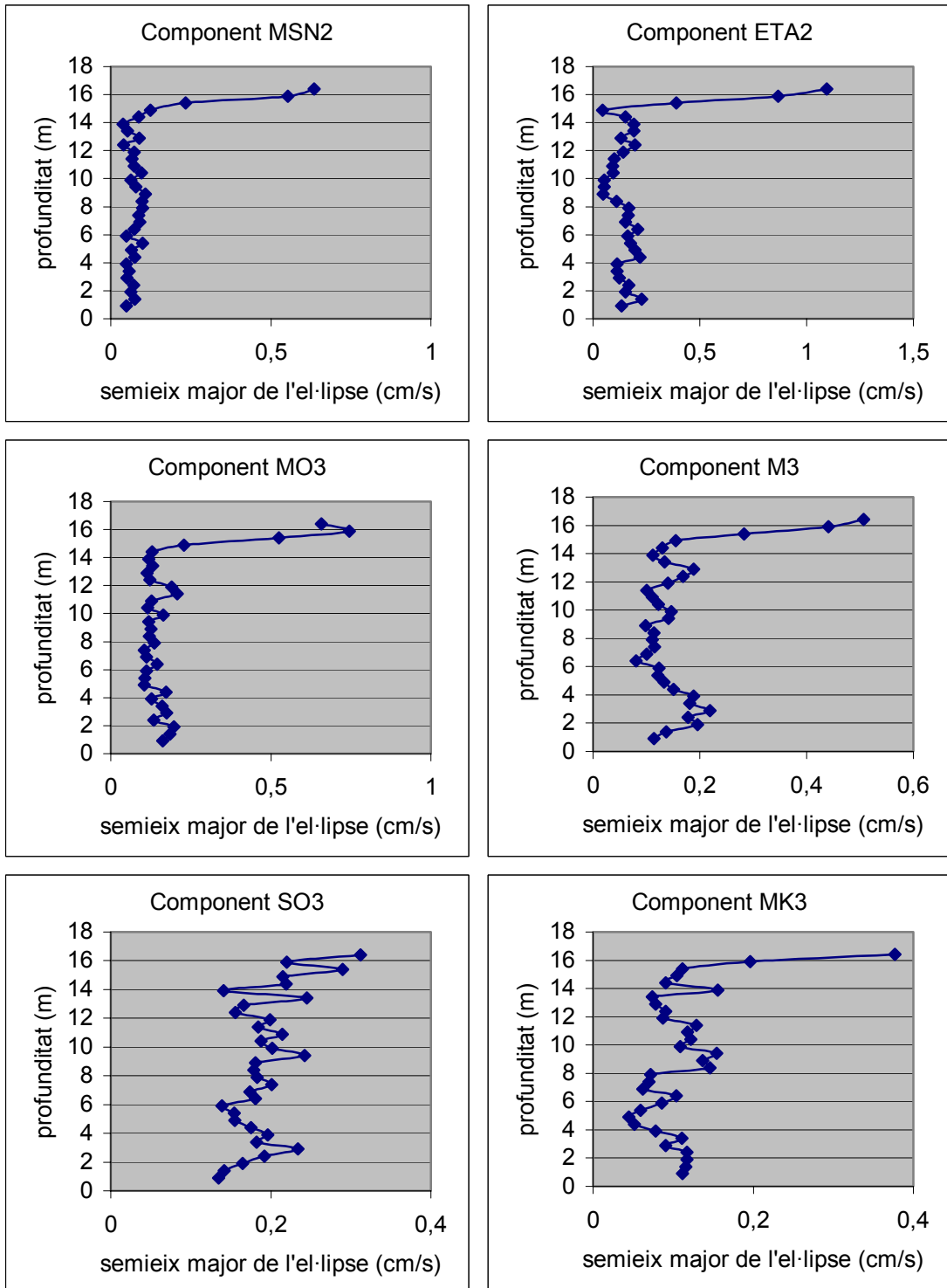


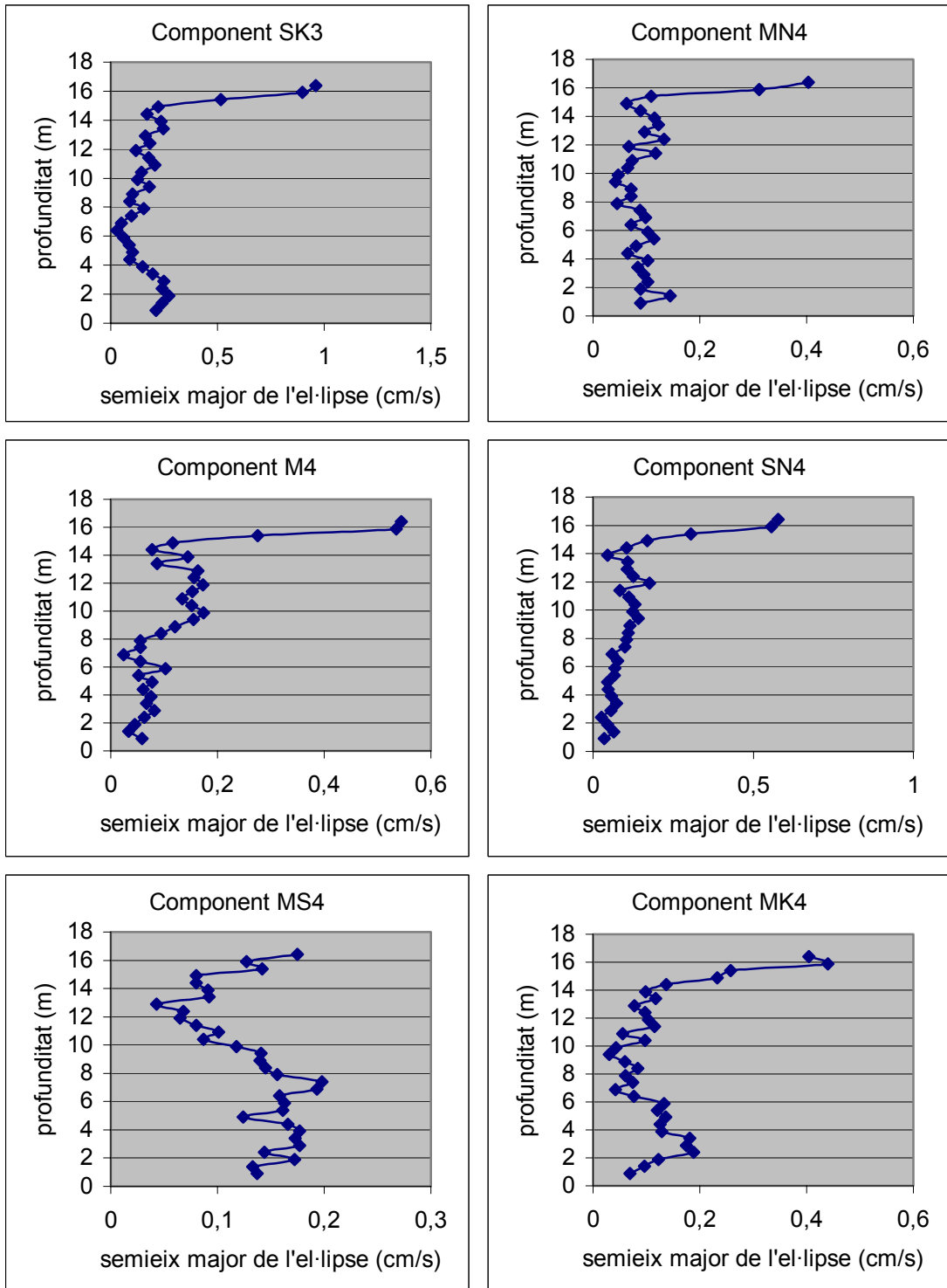




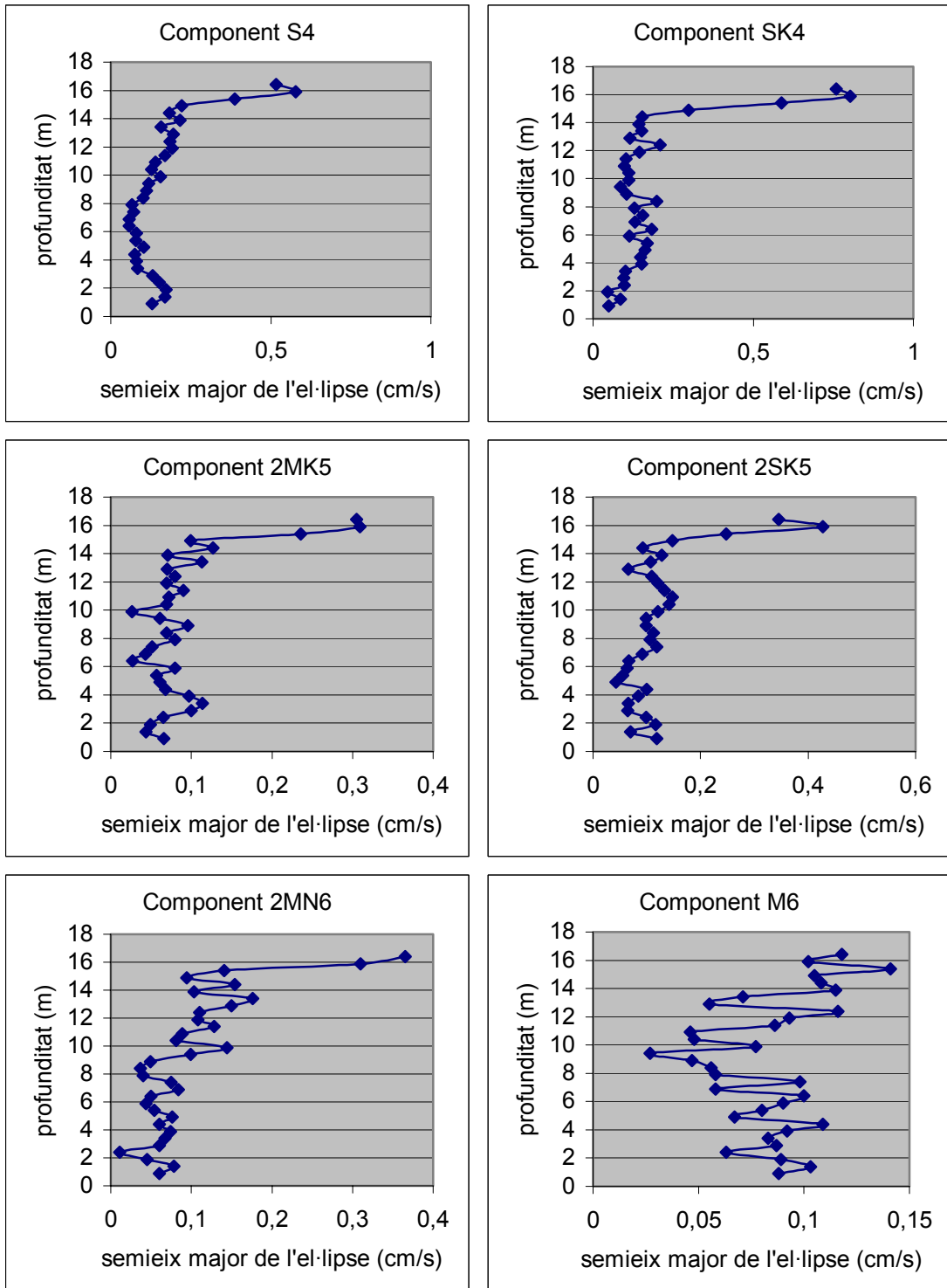


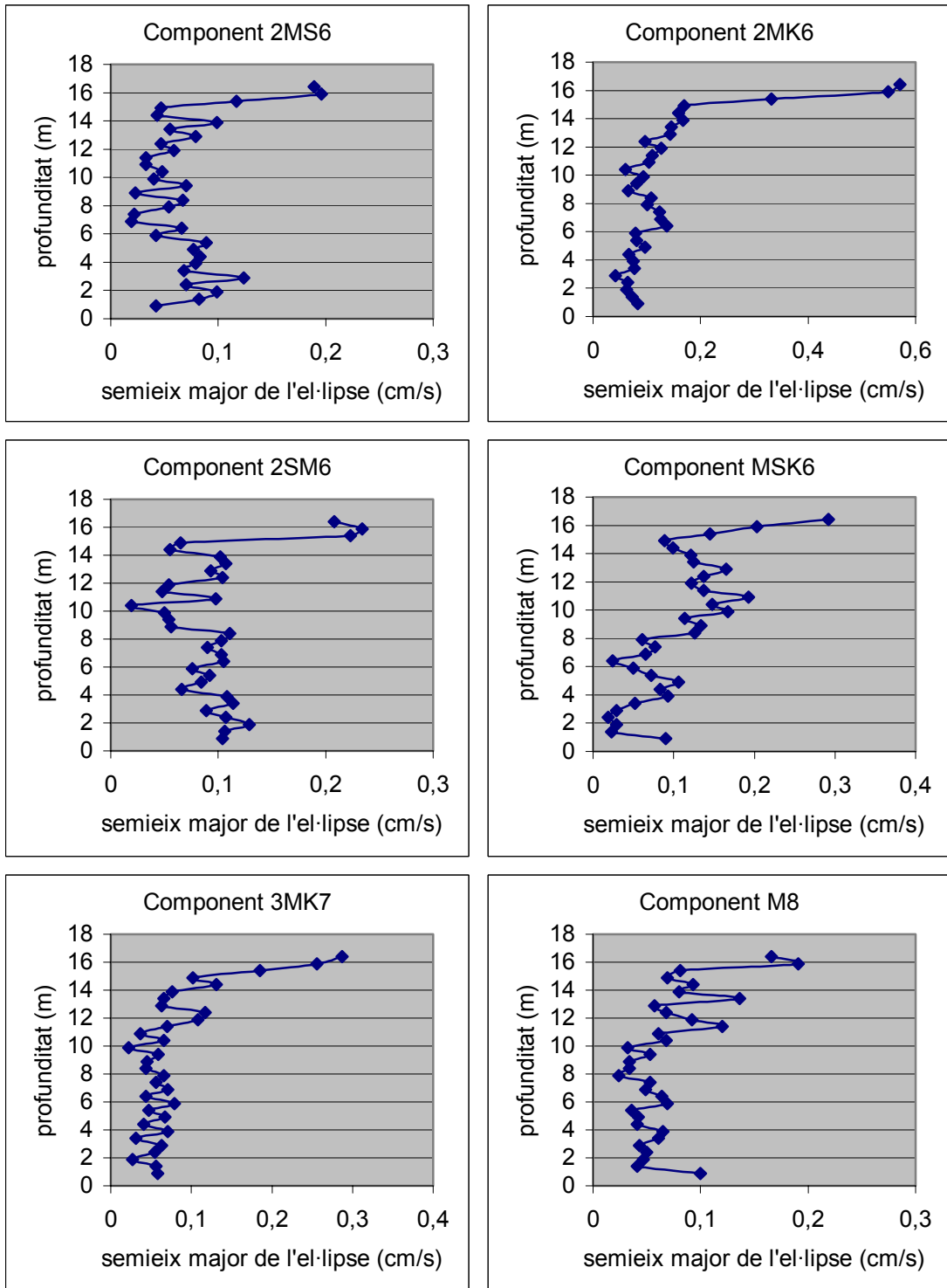


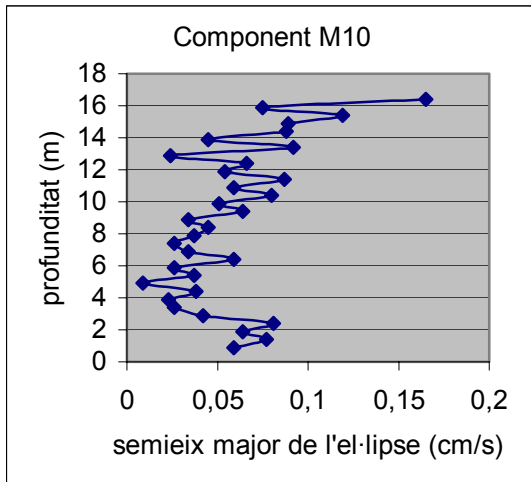












Gràfiques de la inclinació del semieix major per cada component i al llarg de tota la profunditat

